

断層粘土に伴う地すべり型崩壊について

お津敏子 工学部 〇荒牧昭一郎
 " " 中山洋
 藤本大子 " 鈴木表巳

1. まがき

熊本県天草下島の中で、牛平市魚貫地域の西海岸は地表傾斜方向と地層傾斜方向とが一致する「流し盤」が多く、我々が作成した危険図の中で斜傾崩壊の危険性の高い地域である。この地域の一部で昭和66年3月、県道牛平-天草線直路改良に伴って法面の変位が生じたので、ここに報告します。

2. 斜傾崩壊状況と地質

斜傾崩壊が起ったのは、牛平市北北東約4kmの西海岸を、図-4に示すように斜面をカットした後、直路に幅約30cmのクラックを生じ、斜面のふくらみ、かつ斜面頂部に落差約40cmの「骨格崖」を生じたものである。

この地域の地質図によると、右斜軸が魚貫を中心として北東から

図-2 魚貫地すべり平面図

南西方向に存在しており、県道牛平-天草線の西海岸斜面は、可なりこの右斜軸方向へ傾斜した地質面をもっている、さらに、この海岸線は地層の走向に平行したルートが数多く見られ、流し盤の中でも危険性の高い状況下にある。岩質は古第三紀の最上部飯野川層に属する黒色頁岩であり、これを多くの断層が右斜軸にはほぼ直角で交差している。



図-1 魚貫町附近の地質図

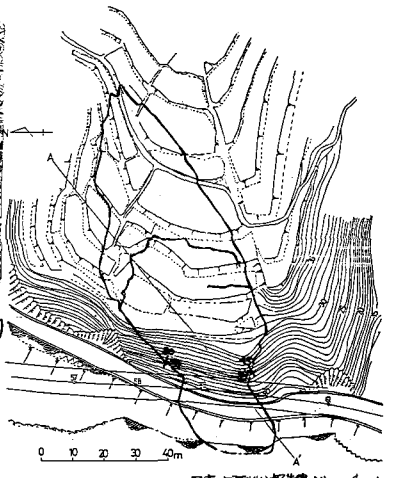


図-3 魚貫地すべりのステレオ投影図

(図-1)。崩壊の起った斜面にも、この一連としての小断層が2方向に存在している。さらに詳しく観察すると、両者の小断層が交差しており、その交差しに合界が地表傾斜方向と一致している「クサビ型崩壊」として現われている(図-2)。これをステレオ投影図にプロットすると図-3のようになり、お互に74°の角度で交わり、その合界の角度は水平と22°を示し、図のようなすべり方向となる。

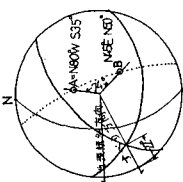


図-4 魚貫地すべり断面図

前述したように、この海岸線は流し盤による斜傾崩壊の危険性が高い傾向にある、実際、この県道に沿った路側で多くの斜傾崩壊跡がみられる。しかし、本斜面での斜傾崩壊は地層の流し盤による崩壊より断層に起因する崩壊であり、その原因の一つに断層粘土の存在であった。この粘土は断層面に沿って1-3cmの厚さで黒色と黄褐色を呈し、斑状に生成していた。

3. 土質力学的考察

断層粘土の物理的性質を表-1に示す。さらに、断層面から採取された不攪乱土のせん断強度を改良型一面せん断試験機を使用し、非排水条件で等圧、等体積せん断を行った。

また、今回のように不攪乱土の採取が不可能な場合が多いので、攪乱土を使用したせん断強度の実験をした。

その場合、不攪乱土の応力履歴を知るために、圧密試験を行った(図-5)。その結果、土の圧力より計算した先行

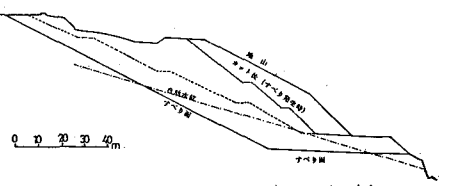


図-5 魚貫地すべり断面図

荷重とほぼ一致、いしれわすかに過圧状態にある事が確認された。

そのため、攪乱土の供試体は20mm通過試料をペースト状にし、これに1.2kg/cm²の圧縮荷重をかけて圧密し、その後、所定の垂直応力の状態でせん断を行った。その結果を図-6(a)に圧密定圧、図-6(b),(c)に圧密等体積せん断で示す。図中の黒丸(●)は軸ひずみ15%に相当する水平変位量ときのせん断強度を意味している。このことは、特に圧密せん断試験において、変位量が大きく小さな、ダイレタンシーの影響によってせん断抵抗力が増大し、セーフ値が異なるためである。

次に、斜面カット後(すべり発生時)の安全率を0.95として計算したC、tanφ図に、室内実験値をプロットすると(図-7)攪乱土の圧密せん断データの15%(軸ひずみ)に相当する値が、計算C、tanφの全応力処理の値に、ほぼ一致している。この事実は、この地すべり粘土が断層によっておかしな攪乱作用を受けて生成されたものであるから、実験室で再生された供試体にほぼ近い状態であったものと推定される。しかし、不攪乱土において適合性が乏しいのは、不攪乱土中の破片がダイレタンシーに大きく影響したものと考えられ、軸ひずみ15%に相当する強度を取ると、不適合性

表一 魚貫地すべり粘土の土質特性

	地すべり粘土		表土
	黒色	黄褐色	
自然含水比%	27.4	27.3	20.3
比重	2.883	2.910	2.699
液性限界%	64.2	62.8	69.6
塑性限界%	23.8	22.4	37.0
塑性指数	40.4	35.4	38.6
最大粒径mm	9.5	4.76	38.1

図-5 魚貫地すべり粘土の降伏応力

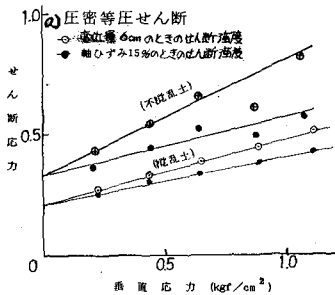
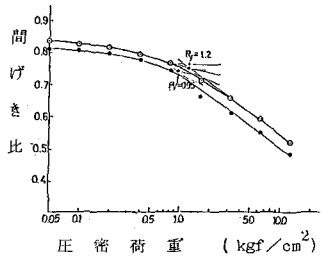


図-6 地すべり粘土のせん断特性

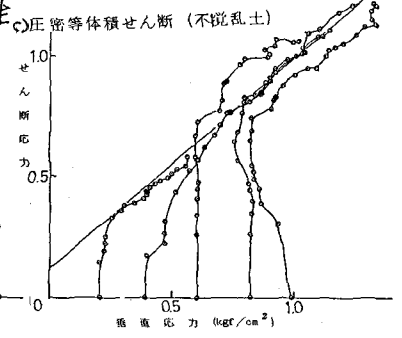
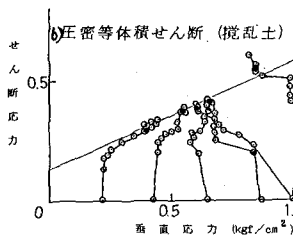
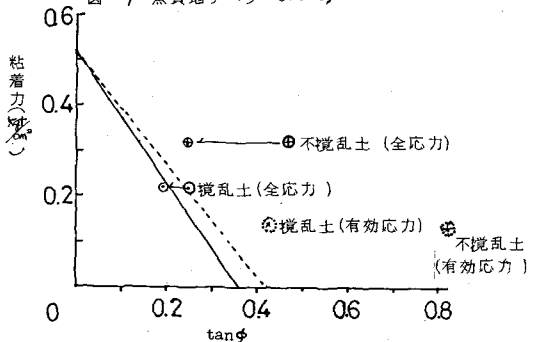


図-7 魚貫地すべり C、tanφ 関係図



が横切される傾向にある。また、有効応力処理での不適合性の一原因は、現場での削りきり圧の計算値を自然水位より求めた為ではないかと考えられるが、今後、多くのデータ収集と比較検討したい。

まとめ

- 1) 本地域の地すべり型崩壊は、2方向断層に挟まれたフサビ型崩壊の典型的なものである。
- 2) 断層地すべり粘土は、ほぼ正規に削りかき断層系粘土土である。このことは、単なる削り作用によって生じた粘土と違って、せん断攪乱作用を受けて生成された粘土であるから異なる事と考えられる。

謝辞

データ提供にいただきました、奥本隆幸様、日本地研KKの方々に感謝の意を表します。

参考文献

- *1. 流砂型すべり、短形中央部を掘削、掘削後(1984)、東北大学上、下島の地すべり型崩壊断層について、応用地質 25巻 2号、P1-12。
- *2. 奥本隆幸様、1991、昭和56年度土木学会学術大会報告、地質調査報告書。
- *3. 7-7. プレイ：若狭斜面工学、朝倉書店。